

Difúzní separační techniky

Používáme, jak a z čeho extrahujeme, můžeme extrakci rozdělit na:

Dělení liquid – solid (loužení, leaching)

Macerace – vyluhovávání z pevných látek studeným rozpouštědlem

Digesce – macerace horkým rozpouštědlem (příklad – vaření čaje)

Dělení liquid – liquid (extrakce, extraction)

Vytřepávání – přerušovaná operace, při níž se do studeného rozpouštědla dostávají látky z lehčí (kapalina s nižší hustotou) nebo těžší kapaliny (s vyšší hustotou). Provádí se v dělicích nálevkách

Perforace – horkým rozpouštědlem (je účinnější)



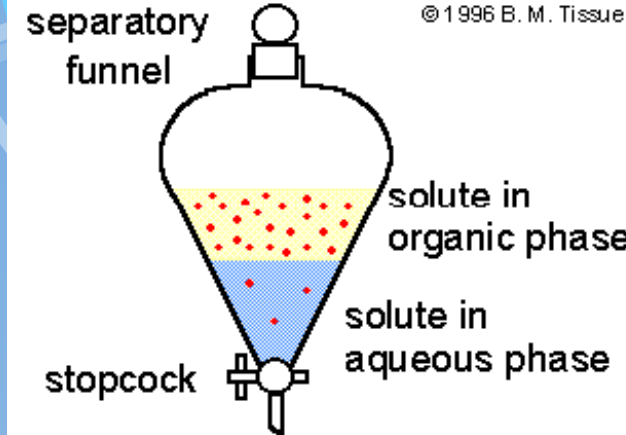
Extrakční kolona – vícenásobná extrakce (existuje i pro loužení)

Extrakce

Ternární soustavy typu

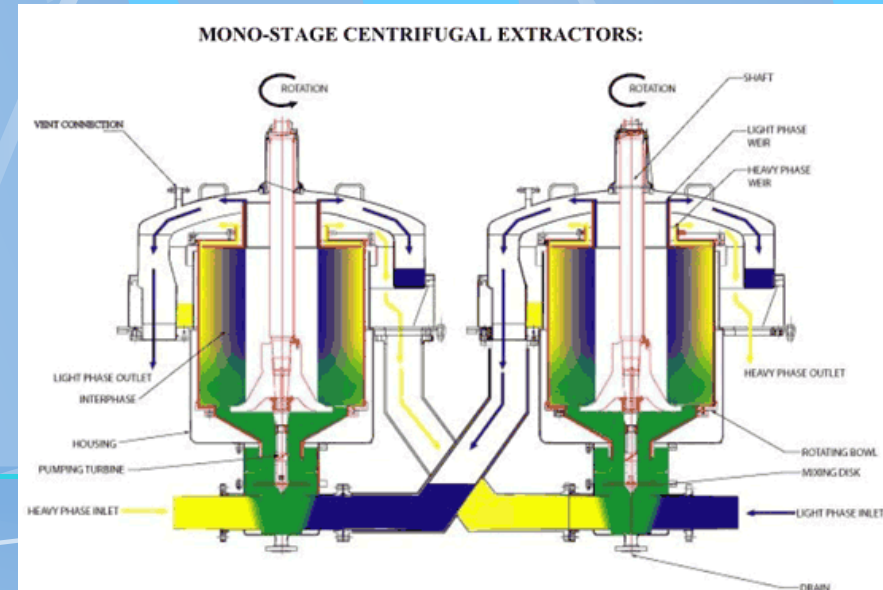
liquid-liquid

s vhodně skloněnými
tie-lines



Laboratoř: vícenásobná extrakce čistým
extrahovadlem (kterým šetříme).

Technologie: vícenásobná extrakce
extrahovadlem obohaceým o solut
(extrahovadlo regenerujeme např. destilací)

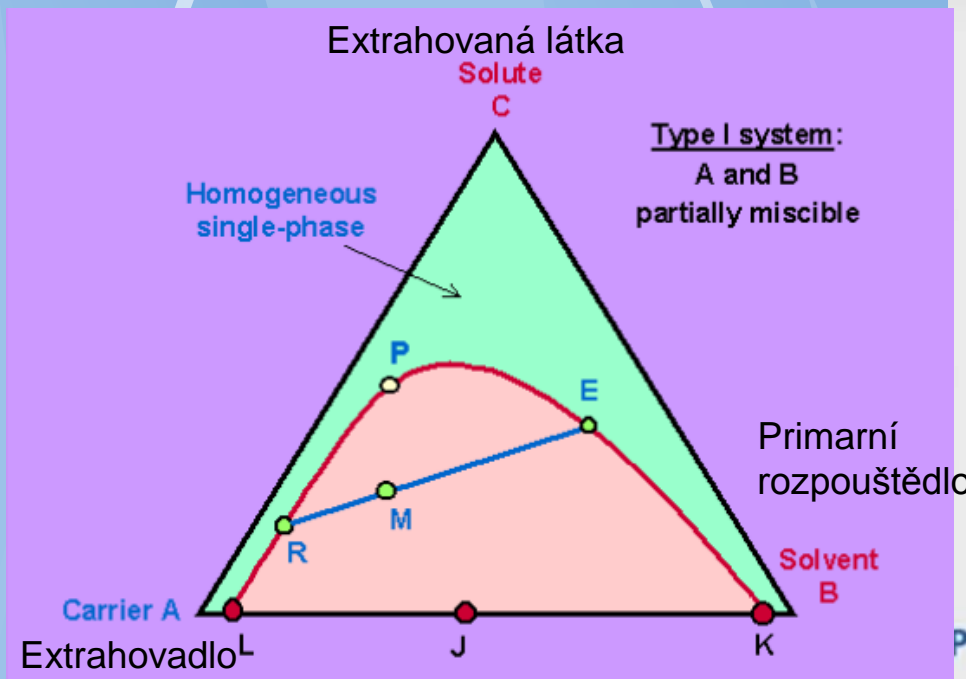


Extrakční systémy liquid-liquid

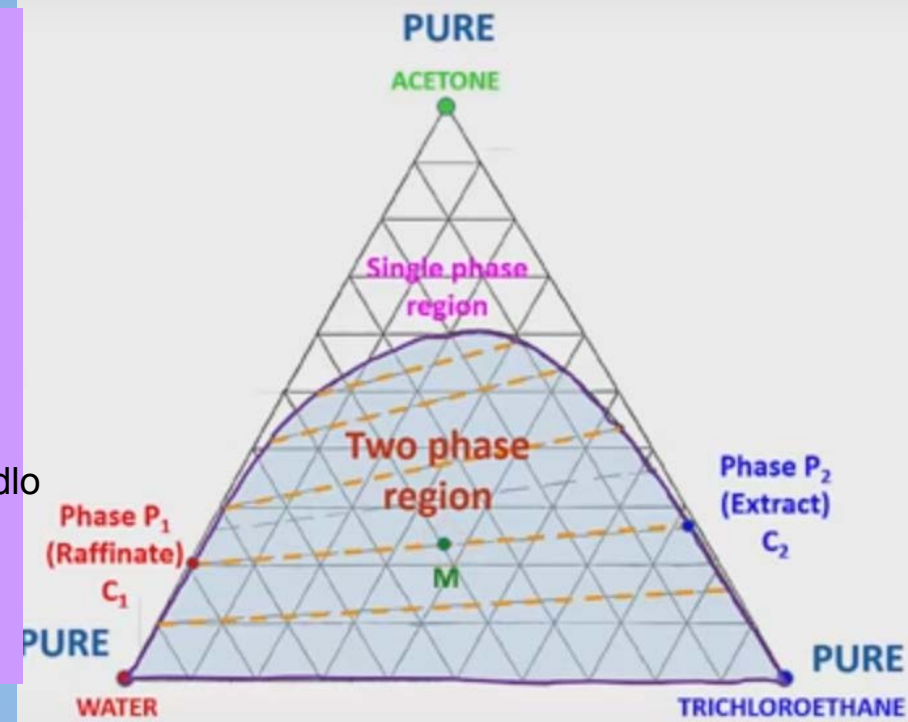
We can use also system with two liquid-liquid immiscible sub systems.

Type I System – technology (tie-lines slope goes down to the carrier. I. e. in two phase region: solut concentration in carrier higher then in solvent)

In a Type I System consisting of 3 components A, B and C, liquid C dissolves completely in A and B, but A and B dissolve only to a limited extent in each other.



http://www.separationprocesses.com/Extraction/SE_Ch01b.htm

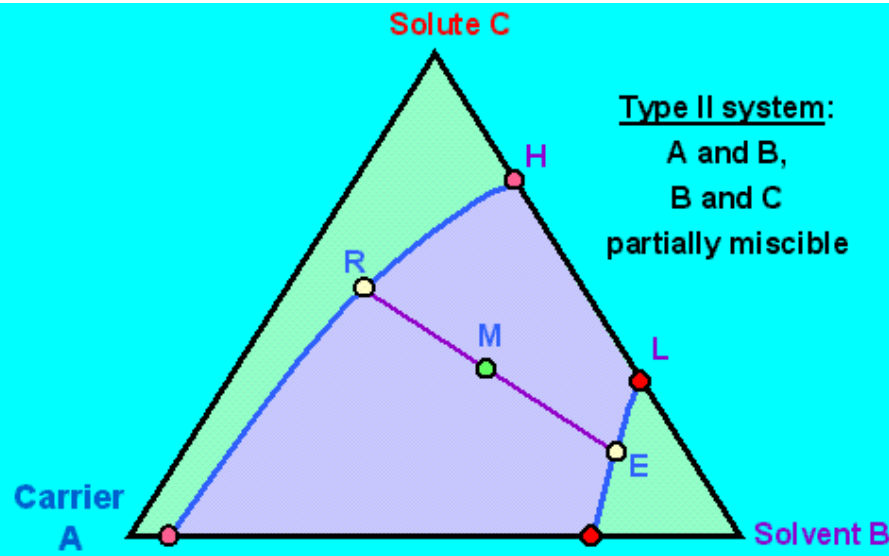


Extrahovadlo, obohaceno o látku C, se nazývá **extrakt**. Původní roztok, naopak ochuzen o rozpuštěnou látku se nazývá **rafinát**.

<https://www.youtube.com/watch?v=J3QFoXRoKEg>

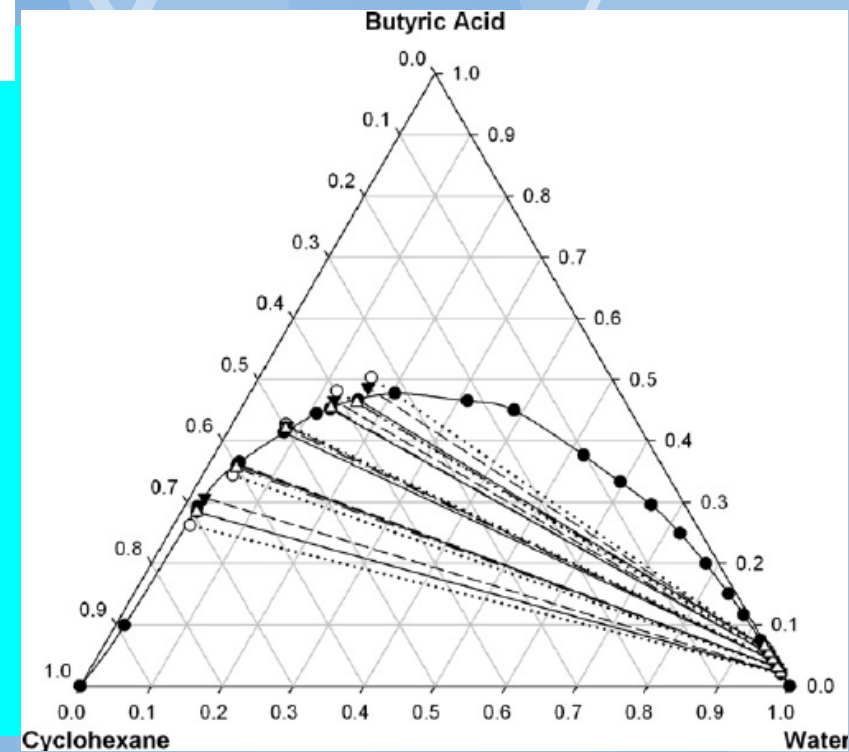
Type II – preferred in laboratory
(tie-lines slope goes down to the Solvent. I. e. in two phase region: solut concentration in carrier lower then in solvent).

In Type II System with 3 components A, B and C, only A and C are completely soluble, while the pairs A-B and B-C showed only limited solubility.

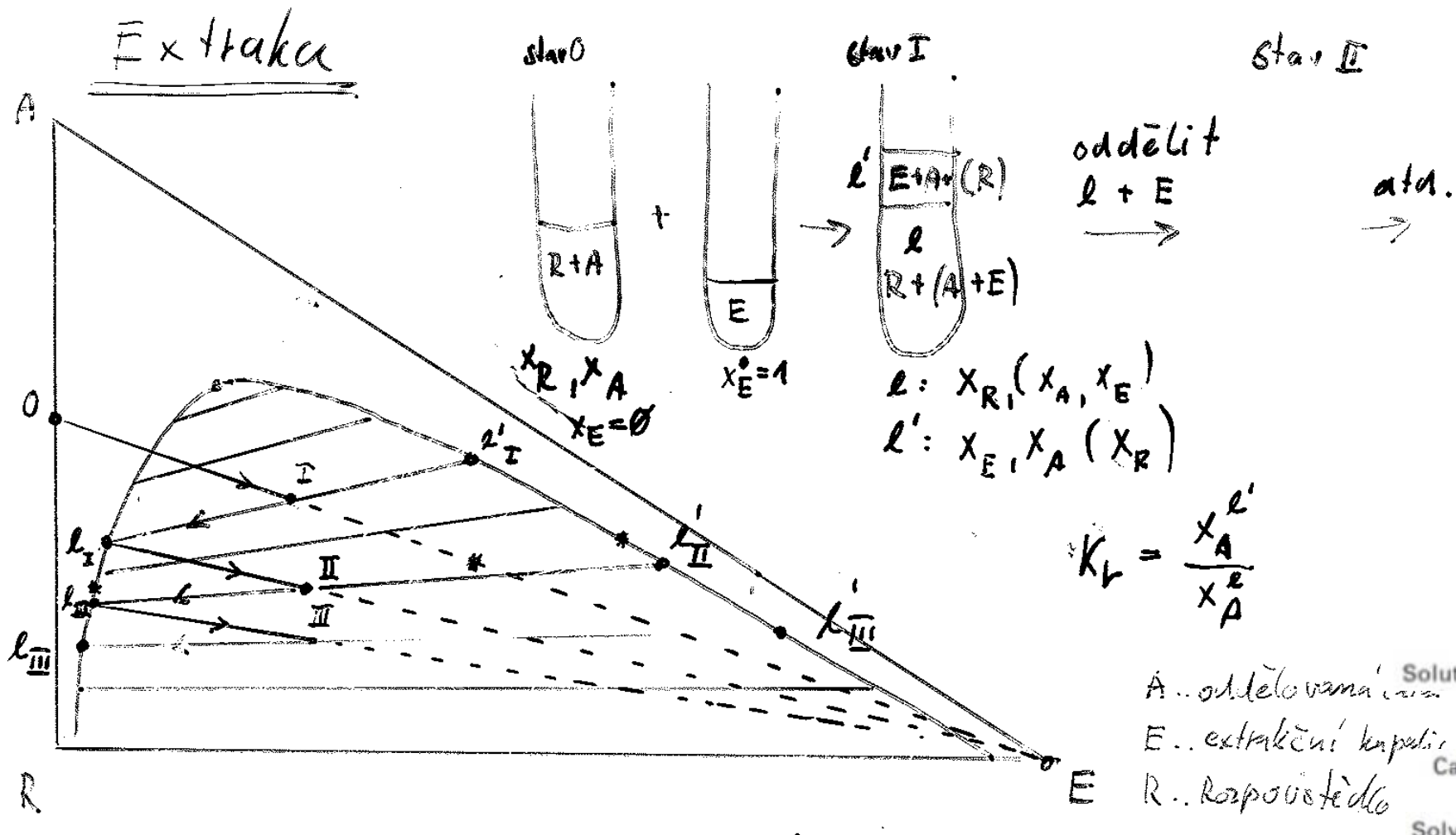


The extraction is possible but

- More solvent would have to use
- The final extract would not be as rich in desired component



Laboratory extraction (type II + one immiscible subsystem)



Pozor změna orientace R-E a označení složek oproti předchozím slidům

=) kladný vliv na výkon reakce

- rozdělení objemu extraktivní látky (min. vliv)
- volba systému (extrahovadla)
 - směrnice T_E -line maximálně \neq sm. OE (resp. $\ell_E E$, atd.)
(jeli = pak. nelze dělit, tzv. solutropický efekt)
 - složení ℓ a ℓ' co nejbliže stanoveným Δ t.i. min. rozponostnost R-E

! $k_f \neq$ konstanta (pouze v určitém oboru x_c)

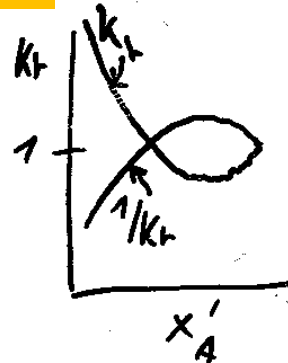
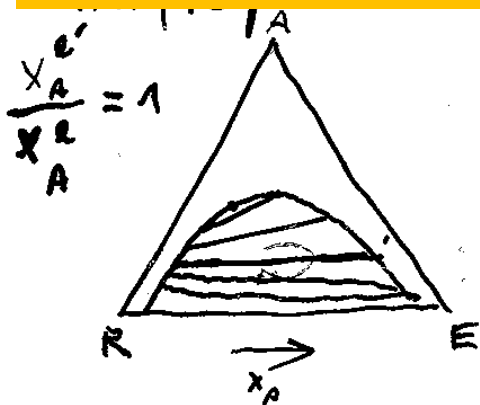
Sptáváně:

$$K_L = \frac{x_A^{\ell'}(\vec{x}_c)}{x_A^{\ell}(\vec{x}_c)}$$

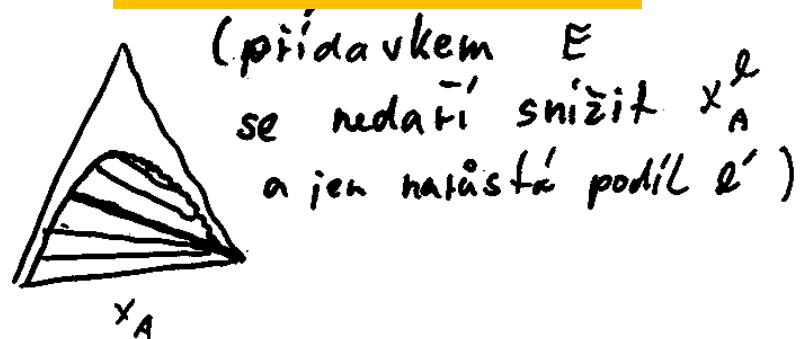
t.j. vypočítat z fázových dat. dle vhodného modelu a známých TD

Negative effects of extraction

Solutropní efekt



Alutropní efekt



$K_r > 1$ (A přechází do extrahovadla)
a pak

$K_r < 1$ (A přechází z extrahovadla
do primárního roztoku)

Nesnižuje se koncentrace A v R A v
E je menší, extrakce jde pomalu

Přídavek E nevede k změně
(snížení) koncentrace A v
extrahovaném zbytku (A+R).
**(Pouze této fáze ubývá díky
vzájemné rozpustnosti R-E)**

Solutrope

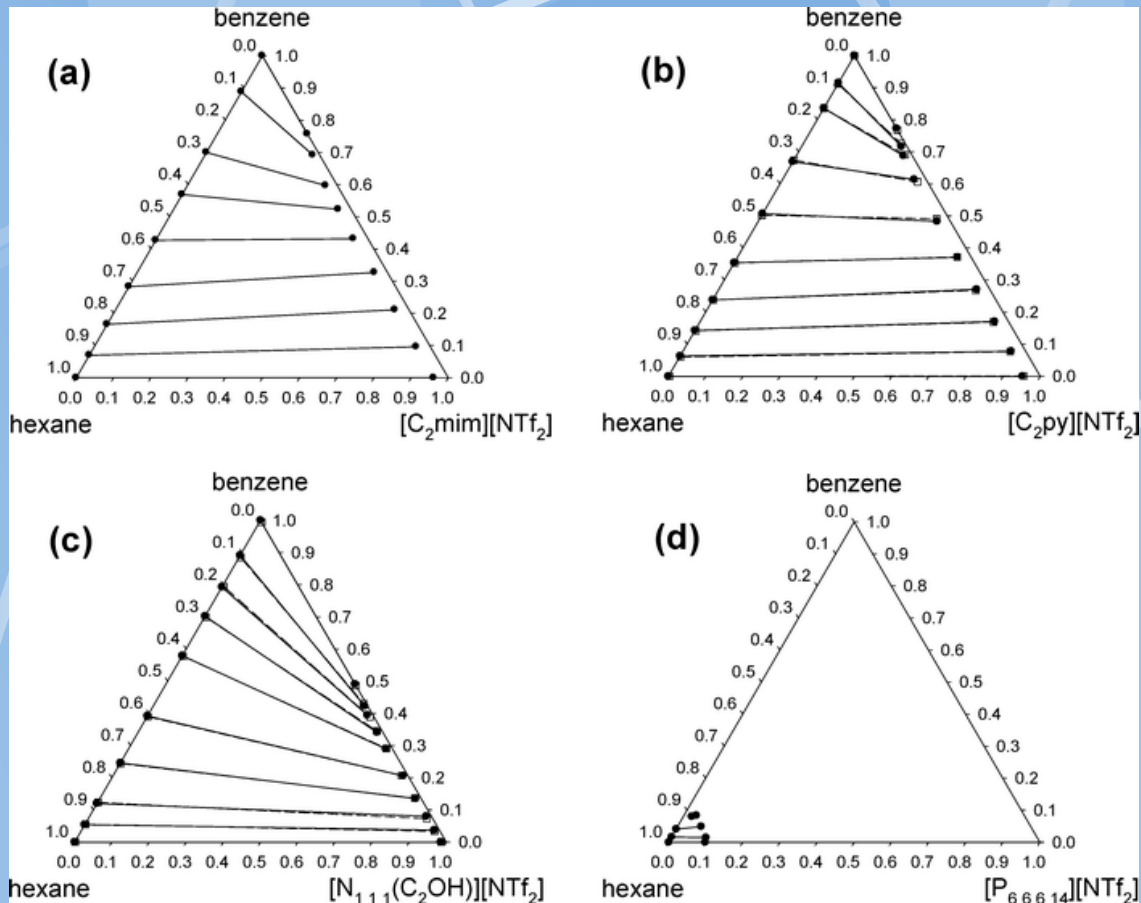
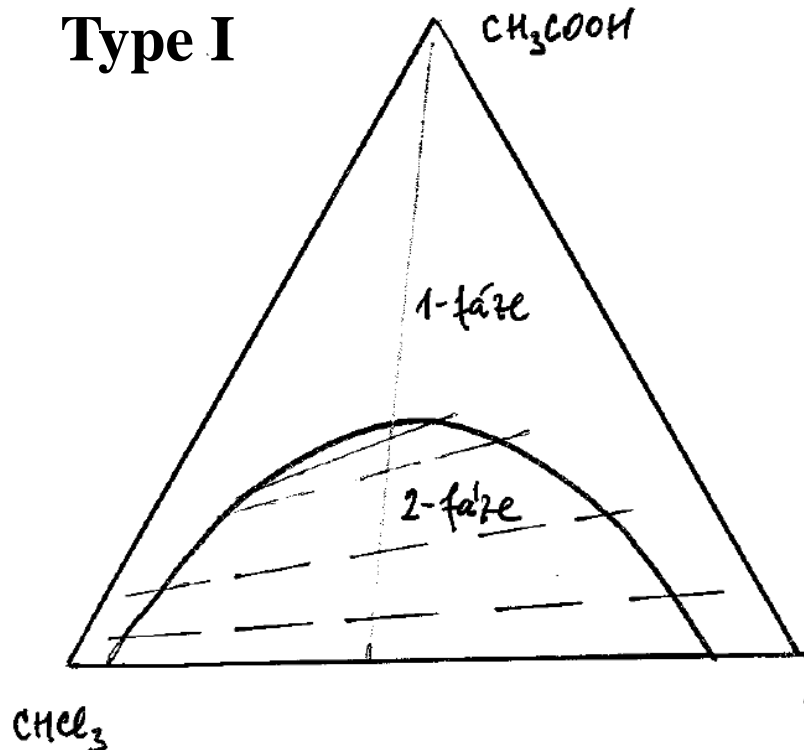


Fig. 2 Experimental (solid circles, solid lines) tie-lines for the LLE at 40 °C of the ternary systems (a) (hexane + benzene + $[C_2\text{mim}][\text{NTf}_2]$),¹⁸ (b) (hexane + benzene + $[C_2\text{py}][\text{NTf}_2]$), and (c) (hexane + benzene + $[N_{111}(C_2\text{OH})][\text{NTf}_2]$); and for the LLE at 25 °C of the ternary system (hexane + benzene + $[P_{66614}][\text{NTf}_2]$).²⁷ For the novel two systems reported in the present work, the correlated tie-lines (NRTL, with $\alpha = 0.30$ and $\alpha = 0.20$ respectively) are also drawn (open squares, dashed lines).

Extrakční soustavy examples

Type I



Přeřez (ze použití i pravoúhlý trojúhelník)



Řezy fázovým diagramem
vícesložkových soustav:
za konstantní:

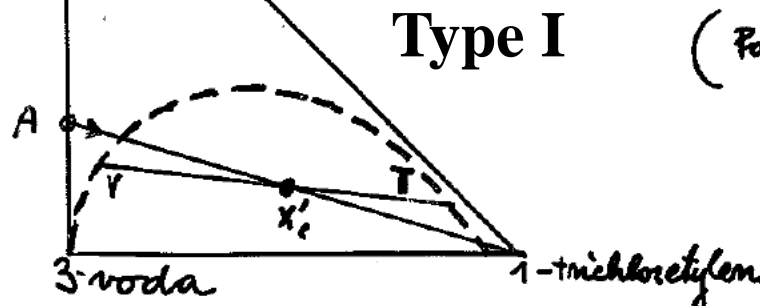
- T (izotermické)
 - n (izobatické)
 - x_i (izokoncentrační)
 - x_i, x_j (polyzokoncentrační)
 - x_i/x_j (konstantní podíl
i složek)
- H_2O - + kombinace (vyšší
soustavy)

Extrakce kaprolaktamu (2) z vodného roztoku trichloretylenem

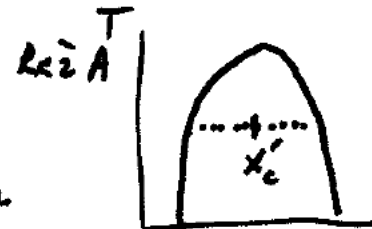
2-kaprolaktem

A - výdora' vodný roztok

Sklon úsečky AT můžeme určit (exp. nebo výp.)



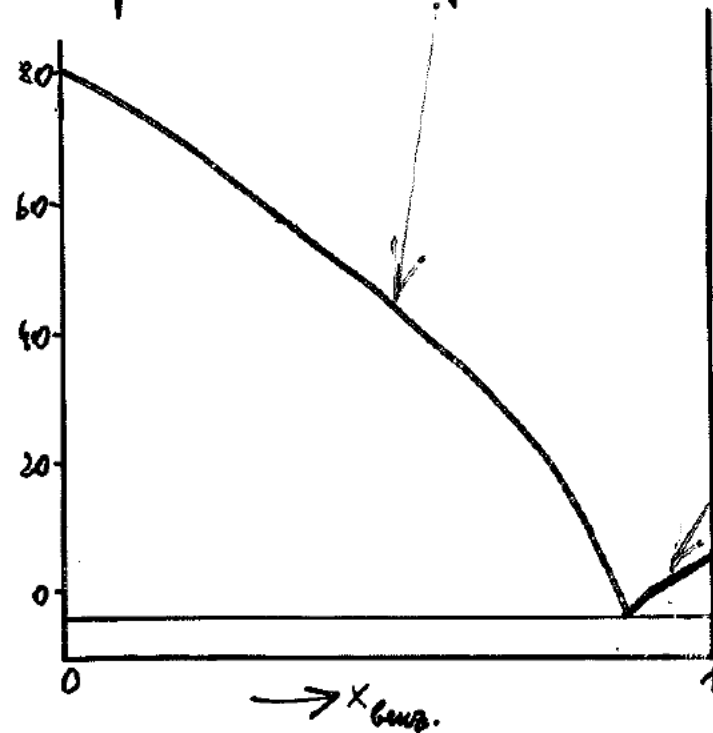
(Podobně: fenol (2) - voda - butylcarboxát)



$$\frac{x'_3}{x'_2} = \text{konst}$$

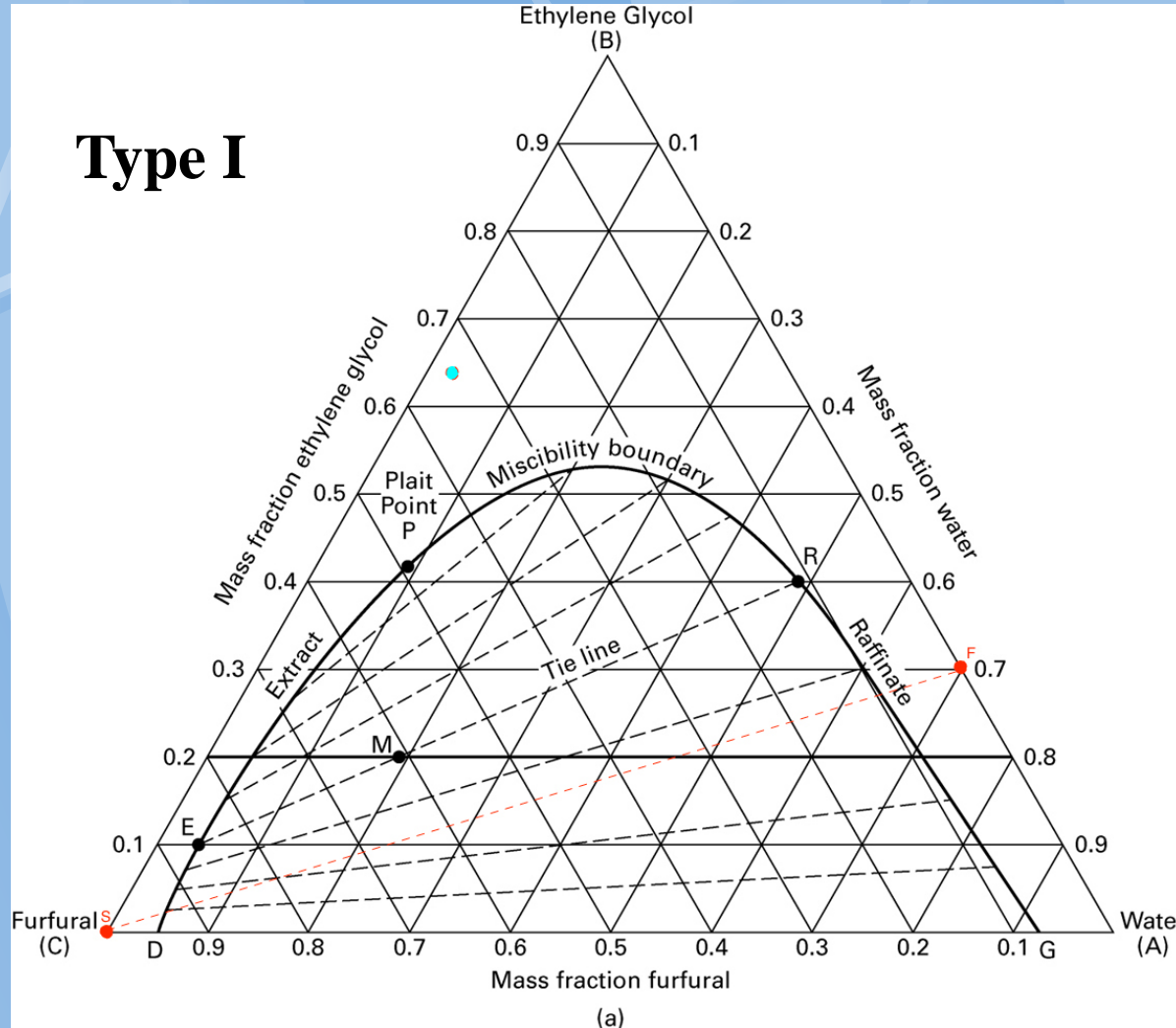
tj. reakce v kovině
zobrazí

Rozpustnost naftalenu + benzenu a benzenu + naftalenu



Amfolaarmus - systém Hg - Te

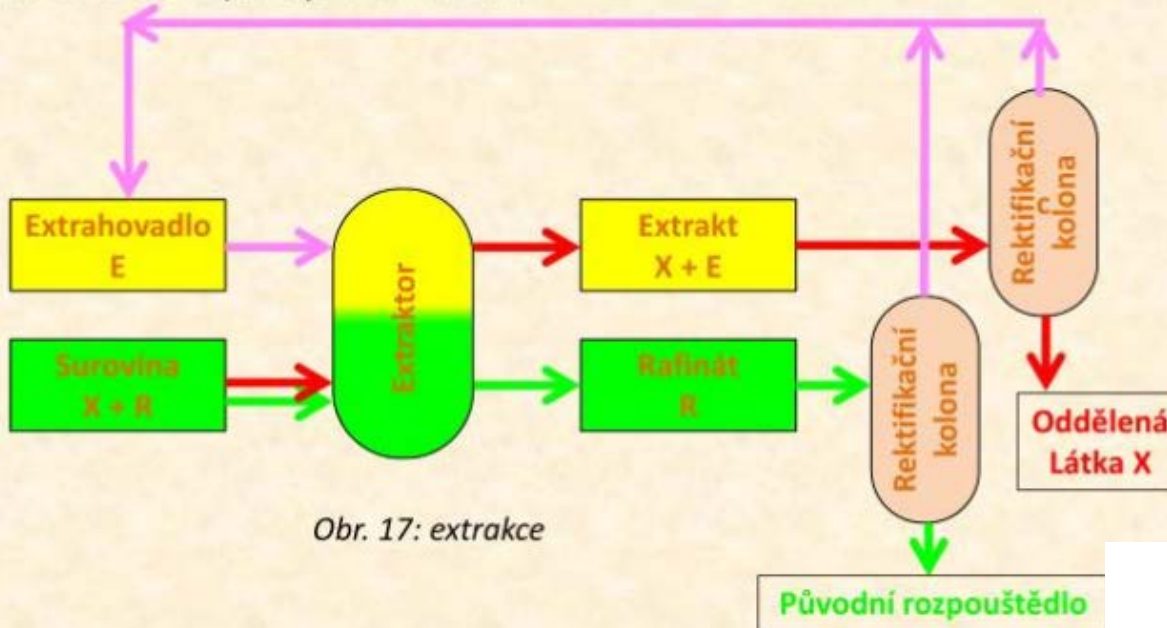
Type I



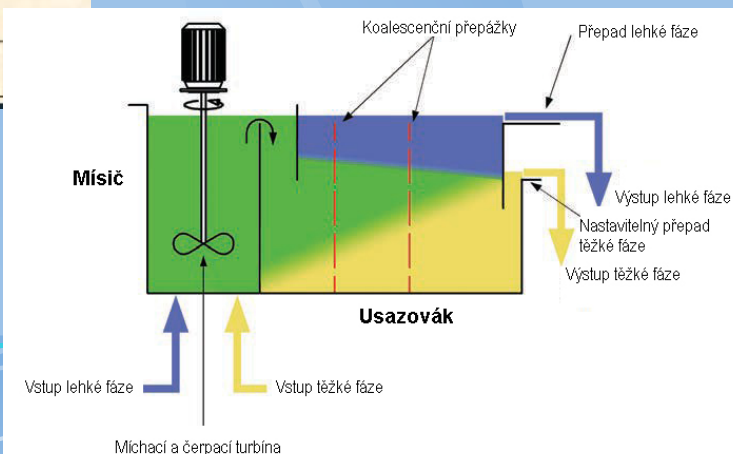
Solution of 30 wt% ethylene glycol in water is to be extracted with furfural.

Extrakce v technologii

V extraktoru přejde látka **X** z původního rozpouštědla **R** do extrahovadla **E**, a protože R a E jsou nemísitelné, spodem extraktoru se vypouští samotné původní rozpouštědlo R, zatímco vrchem extraktoru se odebírá extrakt (X rozpuštěný v E). Rektifikační kolony slouží k oddestilování extrahovadla, které se znova použije v extraktoru.

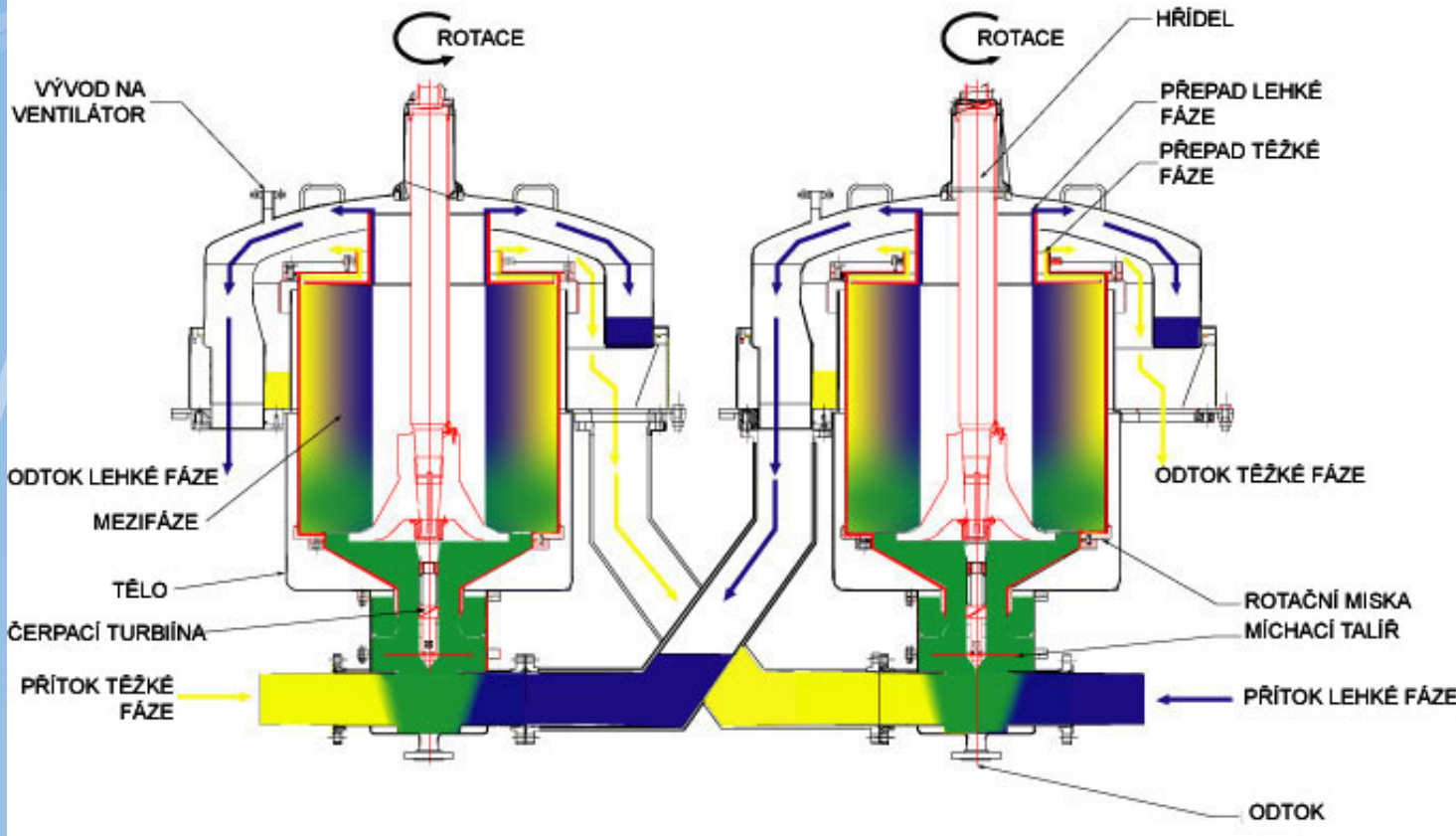


<https://www.slideserve.com/anne-cash/extrakce>



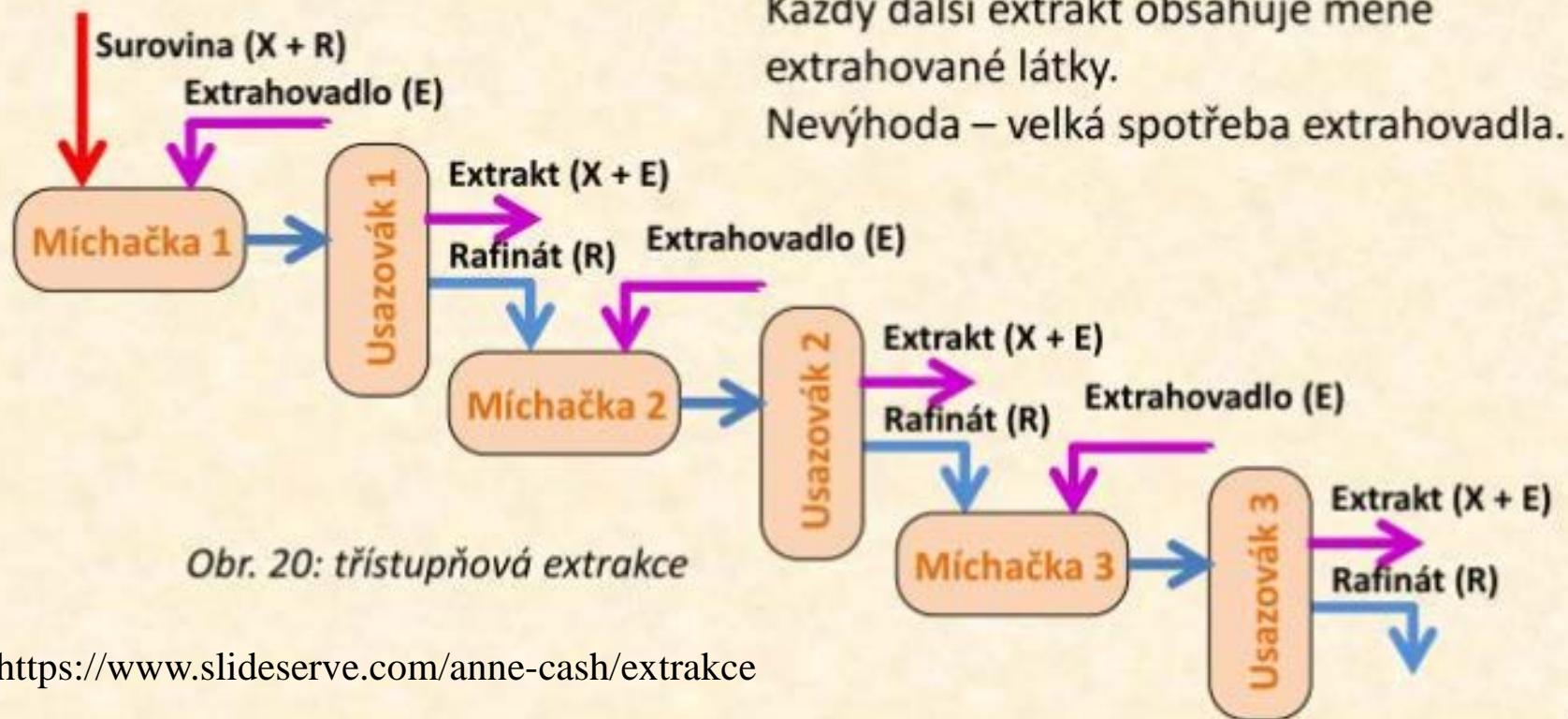
2 stupňová extrakce odstředivá

Roussetet-Robatel Model BXP
2 stupňová protiproudá extrakce

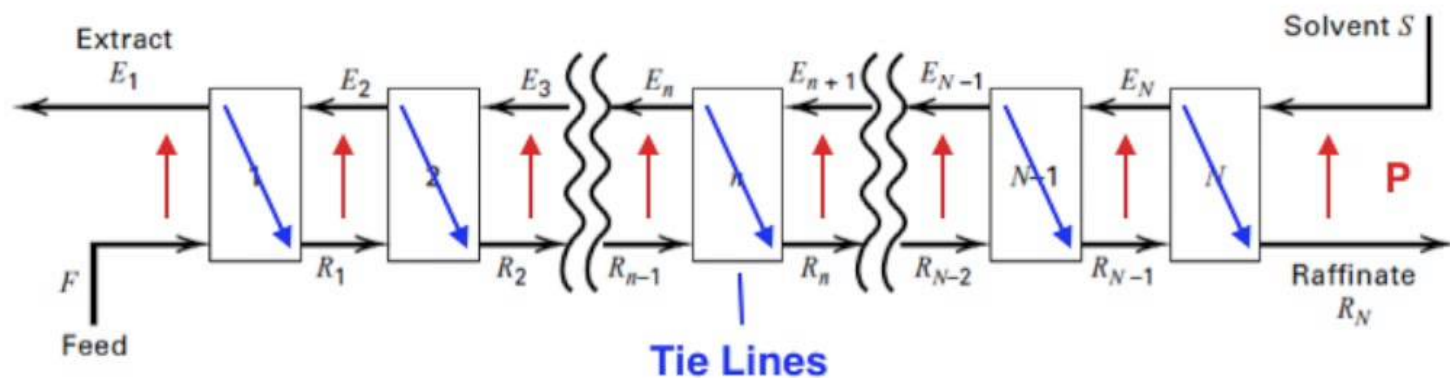


Vícestupňová extrakce

Jednostupňovou extrakcí se surovina (**X**) neoddělí dokonale, proto se řadí více stupňů za sebou – rafinát (**R**) z jednoho stupně se vede jako surovina do následujícího s čistým extrahovadlem (**E**).

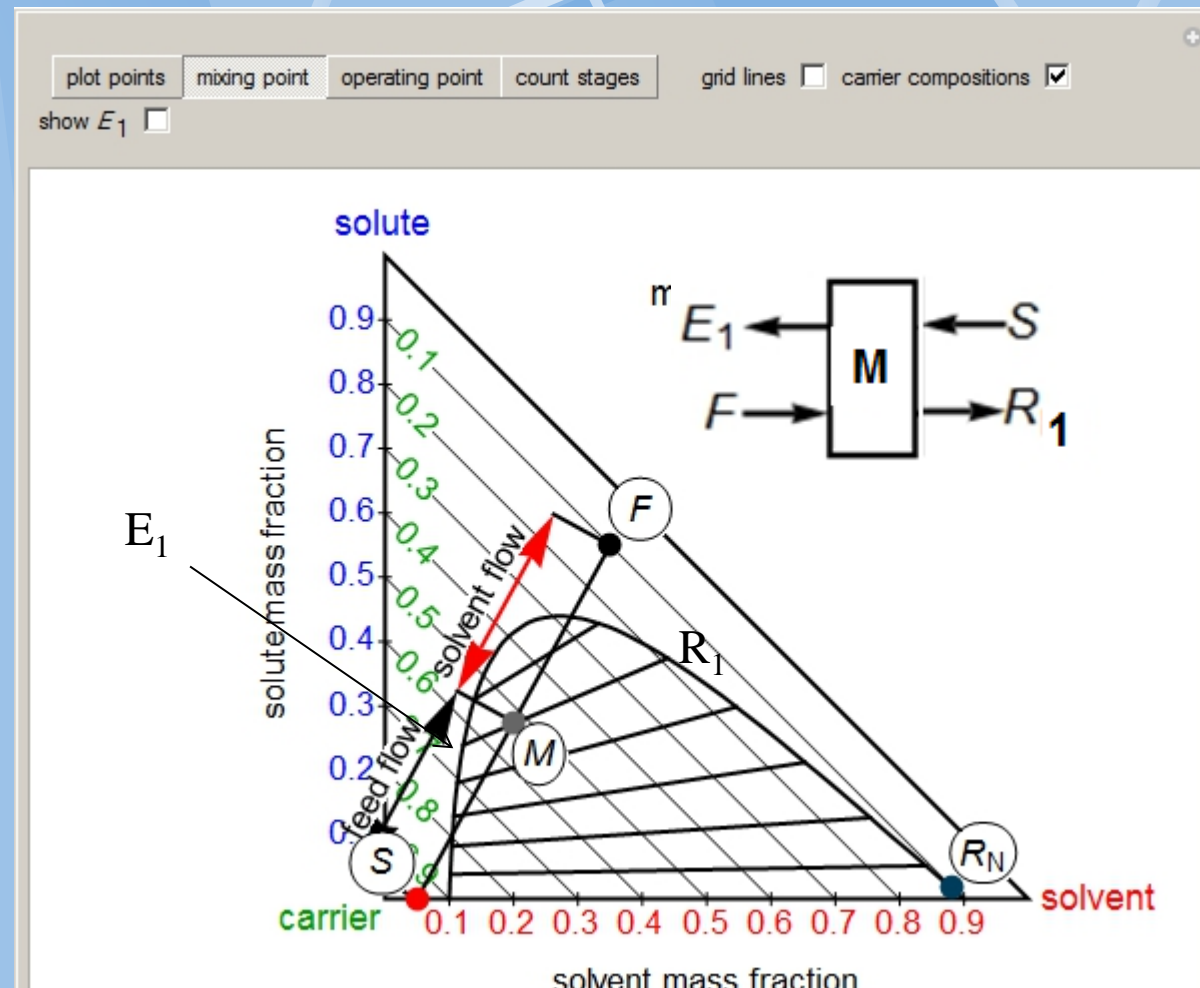


Více stupňová extrakce (extrakční kolona, řešení metodou Hunter - Nash)



Plynová chromatografie a separační metody jsou založeny na podobném principu

Extrakční kolona (Hunter-Nash method, extraction type I)



F ... reprezentativní bod chemického složení směsi určené k rafinaci v místě nátoku (feed).

S ... reprezentativní bod chemického složení extrahovadla (carrier,)

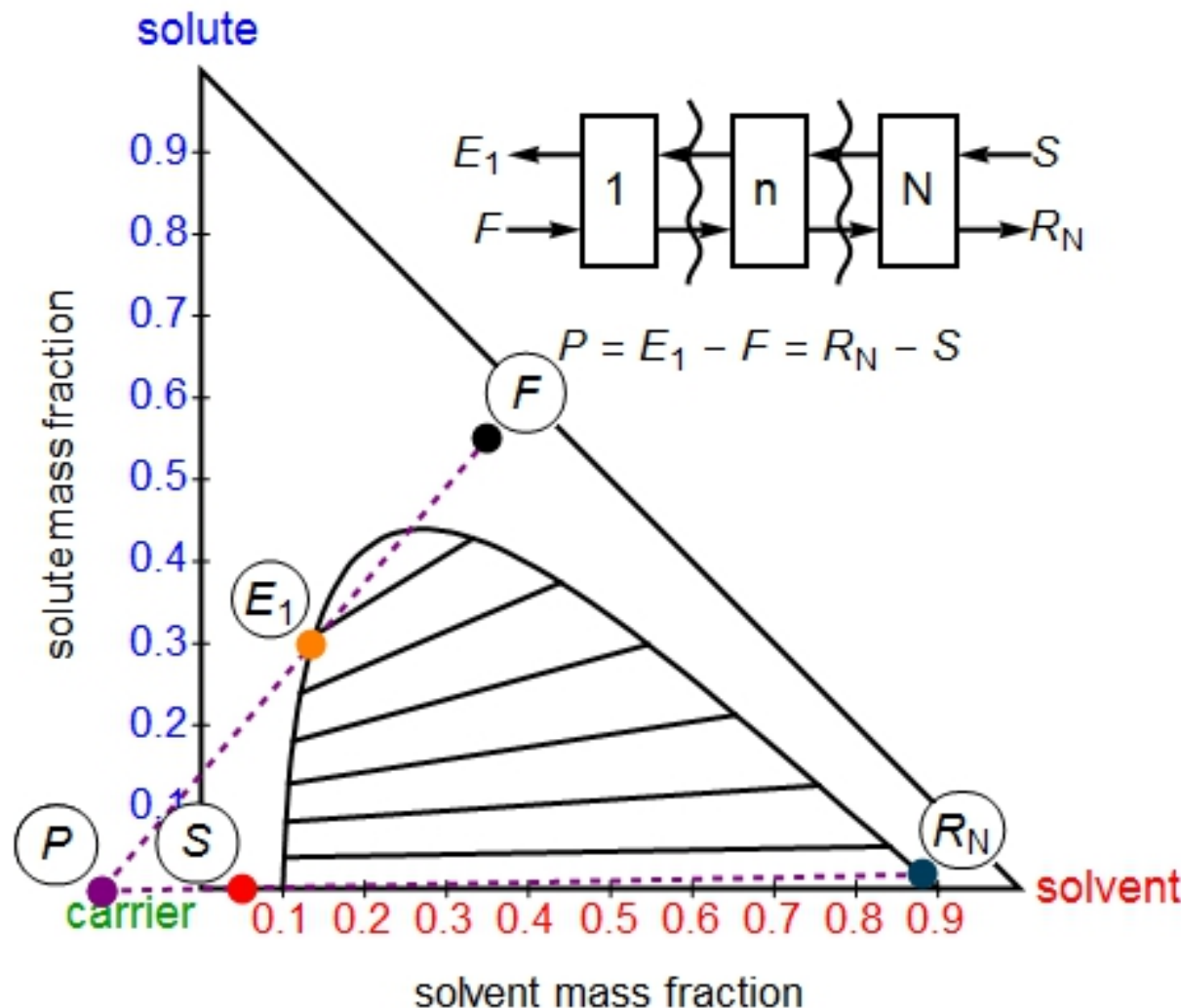
M... reprezentativní bod celkového chemického složení extrakční směsi. Jeho poloha je dána poměrem rychlostí nátoku (w_F) feedu a extrahovadla (carrier w_S):

$$\frac{FM}{SM} = \frac{w_S}{w_F}$$

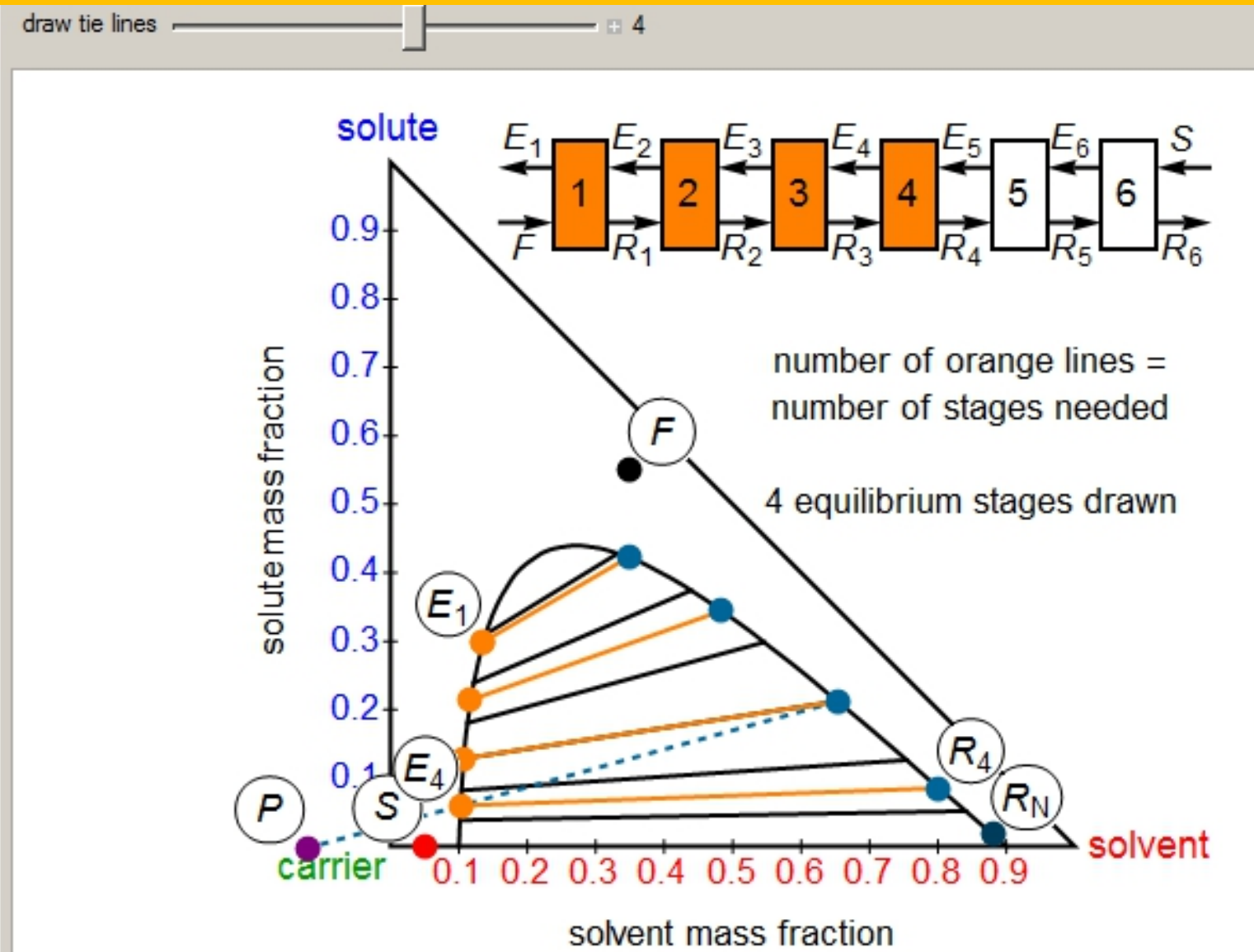
V jednostupňovém reaktoru se ustaví rovnováha dle tieline probíhající bodem M tj. Fázové složení bude E₁ a R₁

Plátí zákon zachování pro okrajové nátoky a výtoky (kg/s) nebo mol/s).

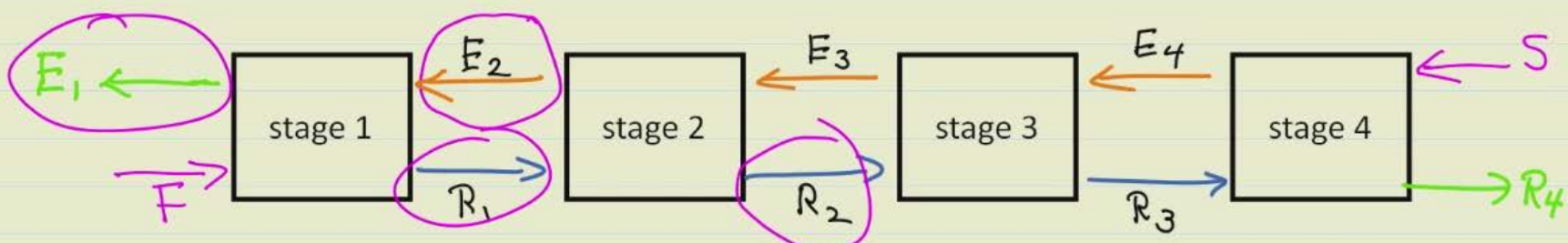
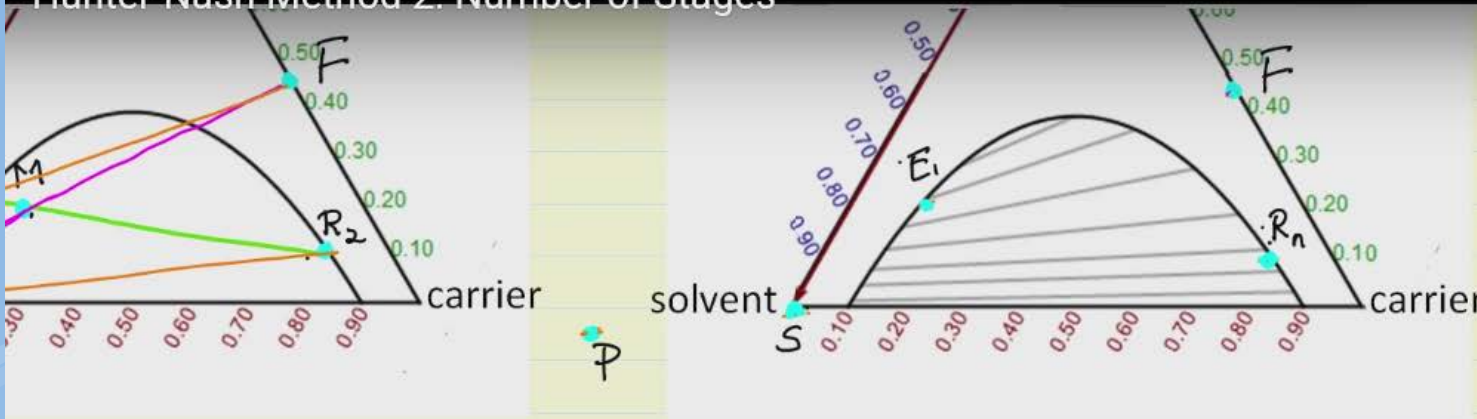
To se přenese do reprezentativních bodů chemického složení (můžeme na ně pohlížet jako na vektory) ve všech jednotlivých stupních kolony tak, že vektorový rozdíl $E_1 - F = E_i - R_{i-1} = P$, kde P je pracovní bod do kterého směřují všechny polopřímky $R_{i-1}E_i$.



Pak doplníme E_i a R_{i-1} , koncové body tileline a určíme teoretický počet pater extrakční kolony s přihlédnutím k tomu jakou čistotu rafinátu Rn chceme získávat. polopřímky $R_{i-1}E_i$.



Hunter-Nash Method 2: Number of Stages



$$P = E_1 - F = E_2 - R_1 = E_3 - R_2 = E_4 - R_3 = S - R_4$$

$$E_1 = P + F$$

$$E_2 = P + R_1$$

$$E_3 = P + R_2$$

$$E_4 = P + R_3$$

mass
balance



2:59 / 6:30

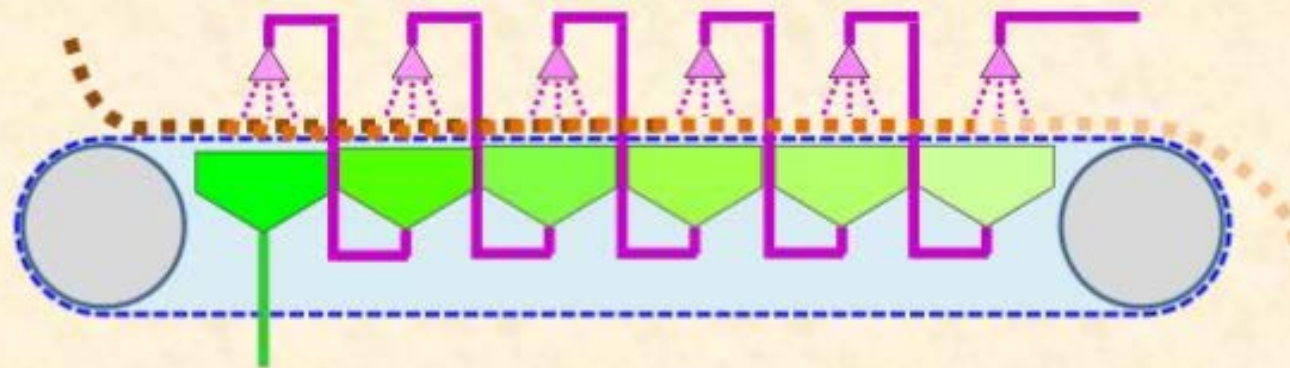


<https://www.youtube.com/watch?v=JZuavrt8ksQ>

<https://slideplayer.com/slide/6136283/>

Leaching - loužení

Surovina se pohybuje po dopravníku tvořeném **sítem** a je sprchována **rozpouštědlem** (extrahovadlem), které postupuje pritiproudě (přívod na konci pásu, postupně se stává koncentrovanější, odvod **extraktu** na začátku pásu). **Rafinát** se ještě následně zbaví zbytku rozpouštědla odpařením.



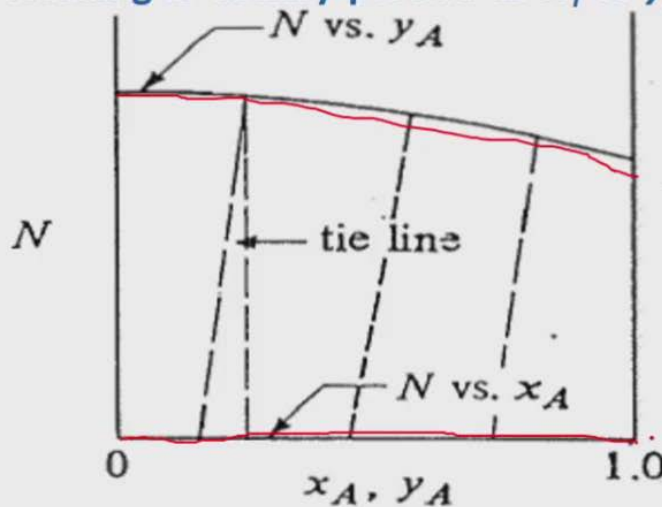
Obr. 12: pásový extraktor

Leaching



PRINCIPLES OF LEACHING: Equilibrium Relationship in Leaching

Equilibrium data for leaching is usually plotted as N_i vs y_i , as shown in the figure below:



Tumi Seodigeng, PhD

Typical Equilibrium Diagram for Leaching Data where $y_A \neq x_A$

<https://www.youtube.com/watch?v=Ym8Qsel-i08>